

## 道路騒音の予測における各種モデルとその解析

京大衛生工学 正 高木興一、正 平松幸三、正 山本剛夫

1. はじめに 道路からの騒音を予測するために、比較的簡単な交通流モデルを想定し、そのモデルに基づいて、観測実における騒音レベルの変動を解析するという方法が一般に行なわれている。このようなモデルの一つとして、現在、よく知られており、かつ広く用いられているのは、等間隔モデルである。<sup>1), 2)</sup> このモデルは、各車両の音響パワーがいずれも等しく、また、車頭間隔がすべて等しいという、極めて単純化した交通流を想定しているが、そこから導びかれる音圧レベルに関する諸量（例えば、平均値、中央値、 $L_{\text{eq}}$ など）はほとんどの場合、簡単な式で表示することが可能であるという特色をもっており、このモデルが広く用いられるに至った理由の一つもこの点にあると考えられる。しかし、現実の交通流を考へた場合、このモデルは、あまりにも単純化されているようであり、車頭間隔のゆらぎや、各車両から放射される音響パワーのゆらぎも考慮に入れたモデルについての解析を行なうことがあわせて重要であると考えられる。以下には、われわれが検討してきた、いくつかのモデルとその解析結果について述べる。

2. 線音源等間隔モデル<sup>3)</sup> 自動車が何キロメートルにわたって、混み合ひながら走行している渋滞状況の場合や、新交通システム構想の一環として研究されている軌道システムでは、個々の車両は、走音源ではなく、線音源として取扱うことも重要な考え方である。ここでは、従来の等間隔モデルをより拡張したモデルとして、有限長の線音源が、一車線上に等間隔で配列されているモデルを想定する。図1に示すように、無限に長い一車線上を、等しい音響パワーWと、等しい長さlを持つ線音源とみなせる車両が、等しい間隔Sで並び、等速度で走行しているとする。0点から最初の車両の中心までの距離をxとし、線音源から発する音は、いずれも位相ランダムで、かつ、球面波として伝播するとすると、P点における音の強さ  $I_w(l; x)$  は、

$$I_w(l; x) = \sum_{n=0}^{\infty} \int_{x-l}^{x+l} \frac{W}{4\pi d} \frac{dx}{d^2 + (x+nS)^2}$$

$$= \frac{q}{8\pi d} \sinh \frac{2\pi d}{S} \left[ \frac{\frac{2\pi x}{S} \frac{\pi l}{S}}{\frac{2\pi x}{S} \frac{\pi l}{S} \cosh \frac{2\pi d}{S} - \cos \frac{\pi l}{S}} \right] \quad (1)$$

と表わされる。この積分の結果は表1のように示される。  $I_w(l; x)$  はSを周期とする周期関数である。  $I_w(l; x)$  の平均  $\bar{I}$  は、

$$\bar{I} = \frac{1}{S} \int_0^S \left( \frac{q}{8\pi d} \sinh \frac{2\pi d}{S} \int_{\frac{2\pi x}{S} - \frac{\pi l}{S}}^{\frac{2\pi x}{S} + \frac{\pi l}{S}} \frac{dt}{\cosh \frac{2\pi d}{S} - \cos t} \right) dx \quad (2)$$

と表わされると、上式の積分順序を変えることによって、  $\bar{I} = W/4\pi dS$  と求めることができ。したがってエネルギー平均レベル  $L_{\text{eq}}$  は、

$$L_{\text{eq}} = 10 \log_{10} \frac{W}{4\pi dS} \quad (3)$$

となり、等間隔モデルや後述の指數分布モデルの場合と同じ値となる。評価尺度として重要な  $L_{\text{eq}}$  の値は、  $x = S/2$  のときによ

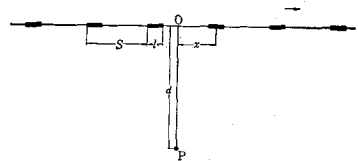


図1. 線音源等間隔モデルの模式図

表1  $I_w(l; x)$  の値

(I)  $0 \leq l \leq \frac{S}{2}, \cosh \frac{2\pi d}{S} \cos \frac{\pi l}{S} \geq \cos \frac{2\pi x}{S}$  の場合

$$I_w(l; x) = \frac{q}{4\pi d} \operatorname{Arctan} \left( \frac{\sinh \frac{2\pi d}{S} \sin \frac{\pi l}{S}}{\cosh \frac{2\pi d}{S} \cos \frac{\pi l}{S} - \cos \frac{2\pi x}{S}} \right)$$

(II)  $0 \leq l \leq \frac{S}{2}, \cosh \frac{2\pi d}{S} \cos \frac{\pi l}{S} \leq \cos \frac{2\pi x}{S}$

又は、 $\frac{S}{2} \leq l \leq S, \cosh \frac{2\pi d}{S} \cos \frac{\pi l}{S} \geq \cos \frac{2\pi x}{S}$  の場合

$$I_w(l; x) = \frac{q}{4d}$$

$$- \frac{q}{4\pi d} \operatorname{Arctan} \left( \frac{\cosh \frac{2\pi d}{S} \cos \frac{\pi l}{S} - \cos \frac{2\pi x}{S}}{\sinh \frac{2\pi d}{S} \sin \frac{\pi l}{S}} \right)$$

(III)  $\frac{S}{2} \leq l \leq S, \cosh \frac{2\pi d}{S} \cos \frac{\pi l}{S} \leq \cos \frac{2\pi x}{S} \leq \cos \frac{2\pi d}{S}$  の場合

$$I_w(l; x) = \frac{q}{4d}$$

$$+ \frac{q}{4\pi d} \operatorname{Arctan} \left( \frac{\sinh \frac{2\pi d}{S} \sin \frac{\pi l}{S}}{\cosh \frac{2\pi d}{S} \cos \frac{\pi l}{S} - \cos \frac{2\pi x}{S}} \right)$$

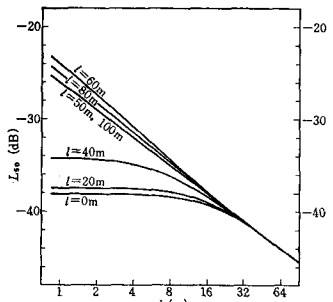


図2.  $L_{\text{eq}}$  と  $d$  の関係

( $S=100$  m,  $PWL=0$  dB)

つて得られる。次に、

$$r \triangleq \frac{d}{S}, \rho \triangleq \frac{l}{S}$$

とおして  $L_a$  の値を示すと表2のようになる。特別な場合として、 $L_{50}$  の値は、

$$\begin{aligned} L_{50} &= L_{eq} + 10 \log_{10} \left[ \frac{1}{\pi \rho} \operatorname{Arctan}(\tanh 2\pi r \tan \pi \rho) \right] & (0 \leq \rho \leq 0.5) \\ L_{50} &= L_{eq} + 10 \log_{10} \left[ \frac{1}{\rho} + \frac{1}{\pi \rho} \operatorname{Arctan}(\tanh 2\pi r \cos \pi \rho - \cos \frac{\pi \alpha}{100}) \right] & (0.5 \leq \rho \leq 1.0) \end{aligned} \quad (4)$$

となる。図2に  $S = 100m$ 、音響パワー  $-0 \text{dB}$  の場合について  $L_{50}$  の距離による減衰特性を、車両長さをパラメータとして示した。 $l = 0 \text{ m}$  は通常の実音源等間隔モデル、 $l = 100 \text{ m}$  は無限線音源の場合である。受音点が車線に近づくほど、 $l$  の効果は顕著となる。

3 指数分布モデル<sup>4), 5)</sup> 図3に示すように、各車両が、無限に長い車線上を、車頭向隅で平均  $S(m)$  の指數分布を走るような状態で走行しているものとみなす。はじめに、各音源のパワーがすべて同じ場合を取り扱うが、この場合も、観測実における音の強さ、あるいは音圧レベルは確率変数となる。P実における音の強さ  $I_w$  および SPLは、

$$I_w = \sum_{i=-\infty}^{\infty} \frac{W}{4\pi} \cdot \frac{1}{d^2 + x_i^2} \quad (5) \quad SPL = PWL + 10 \log_{10} \sum_{i=-\infty}^{\infty} \frac{1}{4\pi} \cdot \frac{1}{d^2 + x_i^2} \quad (6)$$

で与えられる。

$$I = \sum_{i=-\infty}^{\infty} \frac{1}{4\pi} \cdot \frac{1}{d^2 + x_i^2} \quad (7)$$

とおく。Iに対する特性関数(characteristic function)を  $g(u) = \exp[K(u)]$  とおくと、 $K(u)$  は次式で示される。

$$K(u) = \frac{1}{S} \int_{-\infty}^{\infty} \left[ \exp\left(\frac{iu}{4\pi} \cdot \frac{1}{d^2 + x^2}\right) - 1 \right] dx = \frac{du}{S} \sum_{n=1}^{\infty} \frac{(2n-3)!!}{(2n-2)!!} \frac{1}{n!} \left(\frac{iu}{4\pi d^2}\right)^n \quad (8)$$

Iの平均  $\bar{I}$ 、分散  $G_I^2$  は

$$\bar{I} = \frac{1}{4dS} \quad (9)$$

$$\sigma_I^2 = \frac{1}{32d^3 S} \quad (10)$$

となる。Iの確率密度関数  $P(I)$  は、

$\exp[-K(u)]$  のフーリエ変換として、

$$P(I) = \frac{1}{2\pi} \int_{-\infty}^{\infty} e^{-iuI} K(u) \quad (11)$$

で与えられる。 $d \rightarrow 0$  の場合(8)式の  $K(u)$  は、

$$K(u) = \frac{1}{S} \int_{-\infty}^{\infty} (e^{\frac{iux}{4\pi d^2}} - 1) dx = -\frac{1}{S} \sqrt{-iu} \quad (12)$$

となるので、そのときの  $P(I)$  は、

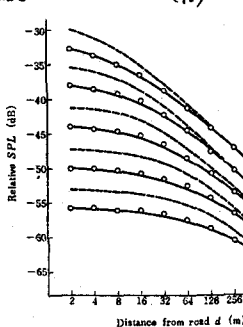


図5 音圧レベルの平均値の距離による減衰  
減衰

表2.  $L_a - Log_10$  を与える式

|                          | $\cos \frac{\pi \alpha}{100} \leq \cosh 2\pi r \cos \pi \rho$   | $\cos \frac{\pi \alpha}{100} \geq \cosh 2\pi r \cos \pi \rho$   |
|--------------------------|---|---|
| $0 \leq \rho \leq 0.5$   | $10 \log_{10} \left[ \frac{1}{\pi \rho} \operatorname{Arctan} \left( \frac{\sinh 2\pi r \sin \pi \rho}{\cosh 2\pi r \cos \pi \rho - \cos \frac{\pi \alpha}{100}} \right) \right]$<br>.....[A]                   | $10 \log_{10} \left[ \frac{1}{2\rho} - \frac{1}{\pi \rho} \operatorname{Arctan} \left( \frac{\cosh 2\pi r \cos \pi \rho - \cos \frac{\pi \alpha}{100}}{\sinh 2\pi r \sin \pi \rho} \right) \right]$<br>.....[B] |
| $0.5 \leq \rho \leq 1.0$ | $10 \log_{10} \left[ \frac{1}{2\rho} - \frac{1}{\pi \rho} \operatorname{Arctan} \left( \frac{\cosh 2\pi r \cos \pi \rho - \cos \frac{\pi \alpha}{100}}{\sinh 2\pi r \sin \pi \rho} \right) \right]$<br>.....[C] | $10 \log_{10} \left[ \frac{1}{\rho} + \frac{1}{\pi \rho} \operatorname{Arctan} \left( \frac{\sinh 2\pi r \sin \pi \rho}{\cosh 2\pi r \cos \pi \rho - \cos \frac{\pi \alpha}{100}} \right) \right]$<br>.....[D]  |

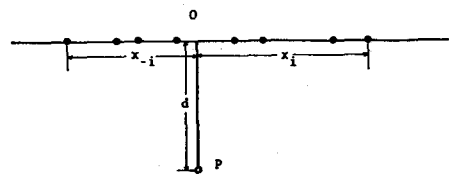


図3 指数分布モデルの模式図

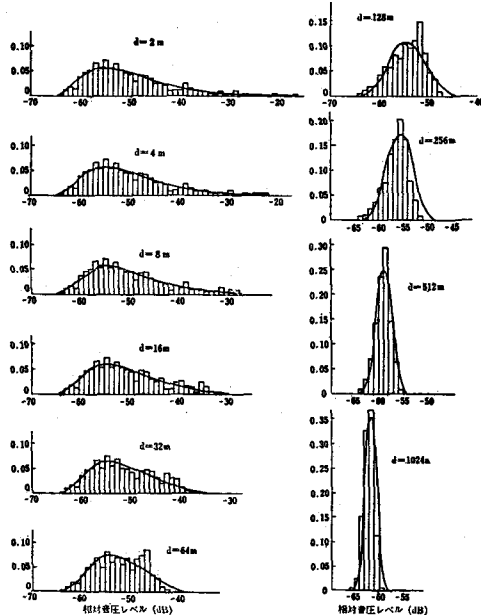


図4 音圧レベルの分布 ( $S=100 \text{ m}$ ,  $PWL=0 \text{ dB}$ )  
モンテカルロ法による結果と近似解(16式)との対応

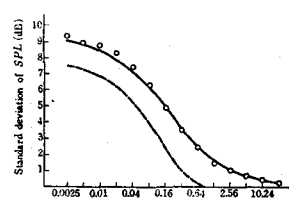


図6 音圧レベルの分散と  $d/S$  の関係  
左軸:  $d$  はシミュレーション計算  
実線は導出した式による値  
破線は等間隔モデルによる値

$$P(I) = \frac{1}{2\pi} \int_{-\infty}^{\infty} e^{-iu} e^{-\frac{1}{S} u^2 - iu} du$$

$$= \frac{1}{2\sqrt{\pi S}} I^{-\frac{1}{2}} e^{-\frac{1}{4S} + \frac{1}{2}}$$
(13)

として求めることができる。  
上記の  $d \rightarrow 0$  の場合を除いては、(11)式の  $P(I)$  を厳密に表示することは困難である。

われわれは、 $K(u)$  の近似式として、(14)式の  $K_1(u)$  を採用し、その結果から  $P(I)$  の

近似式  $P_1(I)$  および、 $X = 10 \log_{10} I$  から変換した  $X$  の密度関数  $f(X)$ 、 $f(X)$  の確率密度関数  $M(z)$ 、 $X$  の平均  $\bar{X}$ 、分散  $S_X^2$  を次式のように求めた。この近似は  $d=0$ 、 $d \rightarrow \infty$  では、厳密解と一致し、かつ者と強度の平均値も一致するようになつてゐる。

$$K_1(u) = 2 \frac{d \pi^2}{S} - \frac{\pi^2}{S} (4d^2 u^2 - iu)^{-\frac{1}{2}} \quad (14)$$

$$\text{ただし, } \alpha = \frac{(d\pi/S)^2}{1 + (d\pi/S)^2}$$

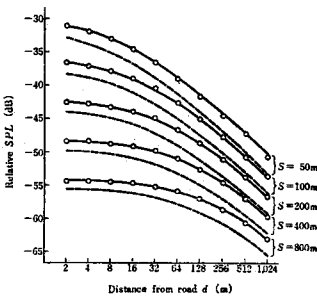


図7. パワーレベルが正規分布す場合の、 $\bar{X}$  の距離による減衰  $\sigma = 5 \text{ dB}$  の場合、  
確率密度  $\sigma = 0$  の場合 ( $PWL = 0 \text{ dB}$ )

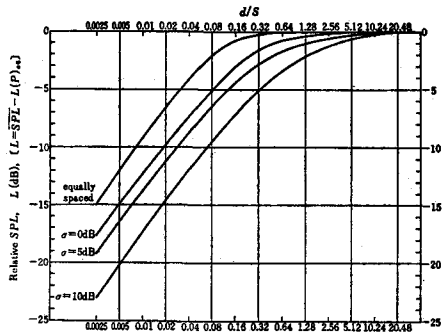


図8. Chart for calculating mean of SPL  
 $SPL = L(P_w) + L$

$$L(P_w) = PWL + 10 \log_{10} \frac{\pi^2 (1 - e^{-\frac{4d^2}{S}})}{4dS}$$

where  $\sigma$  is the standard deviation in dB of power level.

$$M(z) = \int_{-\infty}^{\infty} e^{izx} f(X) dX$$

$$= \frac{e^{\frac{10}{\ln 10} z^2}}{S^{\frac{1-c}{2}}} (4dS)^{-c+\frac{1}{2}} K_{-c+\frac{1}{2}} \left( 2 \frac{d}{S} \pi^2 \right) \quad (17)$$

$$X = 10 \log_{10} \frac{1}{4dS} + \frac{10}{\ln 10} \exp \left( \frac{4d\pi^2}{S} \right) E_i \left( -\frac{4d\pi^2}{S} \right) \quad (18)$$

ただし、 $c = 10/\ln 10$  であり、 $K_{-c+\frac{1}{2}} \left( 2 \frac{d}{S} \pi^2 \right)$  は第二種変形ベッセル関数で、  
 $E_i \left( -\frac{4d\pi^2}{S} \right)$ 、 $E_i \left( \frac{4d\pi^2}{S} \right)$  は積分指数関数、 $i$  はオイラーの定数である。

図4, 5, 6 はモンテカルロシミュレーション計算による結果と、(16), (18), (19) 式による結果とを比較したもので、両者はよく一致していることがわかる。次に車頭間隔が指數分布すのみでなく、各車両のパワーレベルが平均  $0 \text{ dB}$ 、標準偏差  $\sigma \text{ dB}$  の正規分布にしたがつて  $\sigma$  モデルを考える。(7)式の  $I$  と同様の意味での音の強さと、

$$I = \sum_{i=1}^n \frac{1}{4\pi} \frac{w_i}{d^2 + x_i^2} \quad (20)$$

とすると、 $w_i$  に対する確率密度関数  $r(w)$  は、いずれも、次の対数正規分布の密度関数となる。

$$r(w) = \frac{10}{\ln 10} \frac{1}{\sqrt{2\pi w^2}} \exp \left\{ -\frac{(\ln 10 \ln w)^2}{20^2} \right\} \quad (21)$$

$I$  に対する特性関数を  $g(u)$ 、 $K(u) = \ln g(u)$  とすると、 $K(u)$  は次式のよう示される。

$$K(u) = \frac{1}{S} \int_0^\infty \int_0^\infty r(w) \left\{ \exp \frac{iw}{4S} \frac{w}{d^2 + x^2} - 1 \right\} dx dw$$

$$= \frac{d\pi}{S} \sum_{n=1}^{\infty} \frac{(2n-1)!!}{(2n-2)!!} \frac{1}{n!} \left( \frac{iw}{4S^2} \right)^n$$

$$\times \exp \left( \frac{w^2}{2} \left( \frac{10}{\ln 10} \right)^2 \right) \quad (22)$$

上式において  $\sigma = 0$  とすれば、等パワーモデルの場合の  $K(u)$  に一致する。いま便宜上、 $A = \frac{\sigma^2}{2} \left( \frac{10}{\ln 10} \right)^2$  とおく。 $d \rightarrow 0$  のとき、 $K(u)$  は、 $K(u) = -\frac{A^{\frac{1}{2}}}{S} \sqrt{-iu}$  となり、この場合には、 $I$  の確率密度関数を音圧レベルの確率密度関数を厳密に求めることができる。(22)式の近似式として基本的には(14)式と同じ型の、次式を採用した。

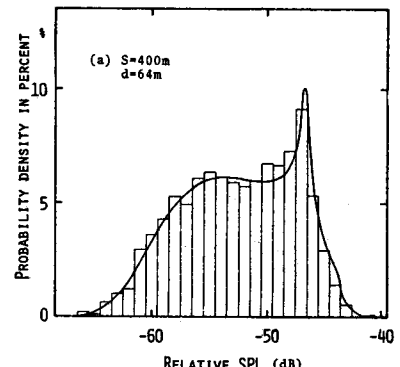


図9. 音圧レベルの確率密度曲線 ( $PWL = 0 \text{ dB}$  のとき)  
(26)式の数値計算による結果と、シミュレーション計算によるとヒストグラム

$$K_1(u) = \frac{2d_0}{S_0} - \frac{1}{S_0} (4d_0^2 - iu)^{\frac{1}{2}} \quad (23)$$

ただし、 $d \rightarrow 0$  で  $K(u) = K_1(u)$ 、及び一次のモーメントが一致すると  
いう条件から、 $S_0 = S \cdot A^{\frac{1}{4}}$ 、 $d_0 = d \cdot A^{\frac{3}{4}}$  である。音圧レベルの平均  
値又は、 $\bar{x} = 10 \log_{10} \frac{A}{4\pi S}$

$$+ \frac{10}{\ln 10} \exp\left(\frac{4d}{S} A^{-\frac{1}{2}}\right) E\left(-\frac{4d}{S} A^{-\frac{1}{2}}\right) \quad (24)$$

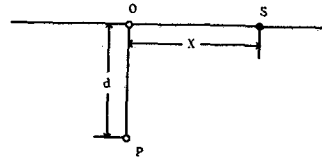


図10. 一実音源モデルの模式図

となる。図7に、 $\sigma = 5 \text{ dB}$  の場合について、音圧レベルの平均値の距離による減衰の様子と、シミュレーション計算の結果と、(24)式による値との比較で不した。両者によく一致している。図8には、音圧レベルの平均値を求めたためのチャートを示した。なお、パワーバルスがない場合の音圧レベルの確率密度函数の型は、(11)式の  $I$  を対数変換した式から、数値計算により、直接求めることもできる。すなはち、(8)式の  $K(u)$  は、Bessel 関数  $J_0(z)$ 、 $J_1(z)$  を用い、 $K(u) = \frac{i u}{4 \pi S} \exp\left(-\frac{i u}{8 \pi d^2}\right) \left\{ J_0\left(\frac{u}{8 \pi d^2}\right) - i J_1\left(\frac{u}{8 \pi d^2}\right) \right\}$  (25)

とあらわされるが、この式を用いると、

$$f(x) = 8d^2 \left(\frac{\ln 10}{10}\right) 10^{\frac{x}{10}} \int_0^\infty \exp\left[\frac{2\pi d}{S} z \left\{ \cos z J_0(z) - \sin z J_1(z) \right\}\right] \\ \times \cos\left[\frac{2\pi d}{S} z \left\{ \cos z J_0(z) + \sin z J_1(z) \right\} - 8\pi d^2 \cdot 10^{\frac{x}{10}} z\right] dz \quad (26)$$

のように表わすことができる。図9は、 $S = 100 \text{ m}$ 、 $d = 64 \text{ m}$  の場合について、(26)式から数値計算によつて求めた結果と、シミュレーション計算によるヒストグラムとを比較したものである。 $f(x)$  は二相性の分布になつたことがわかる。なお、(26)式の数値計算は、 $x$  が小さい場合に行なうこととは、きわめて困難である。

4 一実音源モデル<sup>6)</sup> 前節の指數分布モデルの解析では、騒音の評価においてきわめて重要な  $L_A$  の値を、比較的簡単な式で表示するまでには至らなかつた。一般に、密度函数が表示されても、パーセント実音式で表示することは困難であり、指數分布モデルの場合にも、同様な困難が伴つたわけである。ここで、指數分布モデルを、より簡単な一実音源モデル（音源が一つだけのモデル）によつてはば等価に万るよう近似し、その結果から、 $L_A$  を与え式を導出した。一実音源モデルは図10に示すように、無限長の一車線上に、音響出力  $A \times W$  の実音源が1個だけ存在するモデルである。O から実音源までの距離を  $X$  とする。 $X$  は確率変数で、その密度函数  $f(x)$  には、一つの未定定数  $B$  が含まれているものとする。観測実における音圧レベル  $SPL$  は、 $X$  の單調減少函数として、

$$SPL = PWL + 10 \log_{10} \frac{A}{4\pi} \frac{1}{d^2 + x^2} \quad (27)$$

とあらわされる。ただし、 $PWL$  は指數分布モデルにおける  $PWL$  と同じ値である。ここで、

$$I = \frac{A}{4\pi} \frac{1}{d^2 + x^2} \quad (28) \qquad f(x) = \frac{2B}{S} e^{-\frac{\pi B x^2}{S^2}} \quad (29)$$

とおく。 $d \rightarrow 0$  のとき、 $A = 1$ 、 $B = 1$  となるように、 $A$ 、 $B$  をえらぶとすれば、 $d \rightarrow 0$  のとき、 $I = \frac{1}{4\pi} \frac{1}{x^2}$  となるので、

$$P(I) = \frac{1}{2\sqrt{\pi} S} I^{-\frac{3}{2}} e^{-\frac{1}{4S} \frac{1}{I}} \quad (30)$$

となり、(13)式と全く一致する。すなはち、 $d \rightarrow 0$  では、このモデルは、指數分布モデルと全く等価となる。次に、 $I$  の平均  $\bar{I}$ 、および分散  $\bar{I}^2$  を求めると、それ以下のようになる。

$$\bar{I} = \int_0^\infty \frac{A}{4\pi} \frac{1}{d^2 + x^2} f(x) dx = \frac{AB}{4dS} e^{\frac{\pi B d^2}{S^2}} e^{-\frac{1}{4} \frac{\pi^2 d^2}{S^2}} \quad (31)$$

$$\bar{I}^2 = \int_0^\infty \left( \frac{A}{4\pi} \frac{1}{d^2 + x^2} \right)^2 f(x) dx - \bar{I}^2 = \left( \frac{A}{4\pi} \right)^2 \frac{\sqrt{\pi} B}{S d^3} \left( \frac{\pi B^2 d^2}{S^2} \right)^{\frac{1}{4}} e^{-\frac{1}{2} \frac{\pi^2 d^2}{S^2}} \cdot W_{\frac{1}{4}, -\frac{3}{4}} \left( \frac{\pi B^2 d^2}{S^2} \right) - \bar{I}^2 \quad (32)$$

ただし、 $W_{k,\mu}(z)$  は Whittaker の関数である。 $\bar{I} = \frac{1}{4ds}$  とおいて、(31) から  $a$  を求めると、

$$a = e^{-\frac{\pi B^2 d^2}{S^2}} \frac{1}{erfc(\frac{\pi Bd}{S})} \quad (33)$$

となる。上記の  $a$  を(32) 式に代入し、 $b_i^2 = \frac{1}{32\pi d^3 S}$  カテ定数  $B$  を求めることができるようであるが、仕事の  $d$  は  $10^2$  以上、 $B$  を簡単な形で表示するにはきわめて困難である。そのため、 $d$  が十分大きいとき、両分母が一致するようになる。今、 $Z = \frac{\pi B^2 d^2}{S^2}$  とおいて、 $Z \rightarrow \infty$  とし、 $W_{k,-\frac{1}{2}}(Z)$  の漸近展開を用いると、

$$b_i^2 \sim \left(\frac{n}{4\pi}\right)^2 \frac{\sqrt{\pi}B}{Sd^2} Z^{-\frac{1}{2}} (1 - Z^{-1} + \frac{9}{4}Z^{-2}) - \left(\frac{1}{4ds}\right)^2 \quad (34)$$

$erfc(\sqrt{Z})$  についても漸近展開を行ない、今前が一致するようになると、 $Z \sim \frac{1}{2} + \sqrt{\frac{\pi d}{S}}$  となる。(たゞ  $Z \sim \frac{1}{2\pi d} \sqrt{1+2\sqrt{\frac{\pi d}{S}}}$  ( $d \rightarrow \infty$ ) となる。(↑ 31),  $B$  は  $d \rightarrow 0$  で  $B \rightarrow 1$ ,  $d \rightarrow \infty$  で上記の  $B$  となるようちばらメータである必要がある。この点を考慮し、 $B$  として、

$$B = \frac{\frac{S}{\sqrt{2\pi}d} \sqrt{1+2\sqrt{\frac{\pi d}{S}}}}{1 + \frac{S}{\sqrt{2\pi}d} \sqrt{1+2\sqrt{\frac{\pi d}{S}}}} \quad (35)$$

を採用した。一方、観測実における音圧レベルが(27)式のように、入の單調減少関数として表せられることから、一束音源モデルで、 $L_\alpha$  を与える  $X$  は、

$$\int_0^X f(t) dx = \int_0^X \frac{2B}{S} e^{-\frac{\pi B^2}{S^2} t^2} dt = 0.0 \alpha \quad (36)$$

なる関係から定められる。すなはち、一束音源モデルの  $L_\alpha$  の値は次式で示される。

$$L_\alpha = PWL + 10 \log_{10} \left[ \frac{1}{4\pi B} e^{-\frac{\pi B^2 d^2}{S^2}} \frac{1}{erfc(\frac{\pi Bd}{S})} \cdot \frac{1}{d^2 + (\frac{S}{\sqrt{2\pi}B})^2 C_\alpha} \right] \quad (37)$$

ただし、 $\int_0^{C_\alpha} \frac{1}{\sqrt{2\pi}} e^{-\frac{t^2}{2}} dt = \frac{0.0 \alpha}{2}$  である。

$C_\alpha$  の値は、正規分布表から求められるが、たとえば、 $d = 50$  のとき、 $C_\alpha = 0.674449$  である。図 11 は  $L_\alpha - L_{50}$  と  $d/S$  の関係、図 12 は  $L_{50}$  の距離による減衰の様子を示したもの。パワーベース布する場合や、多車線の場合なども同様の取扱いが可能である。

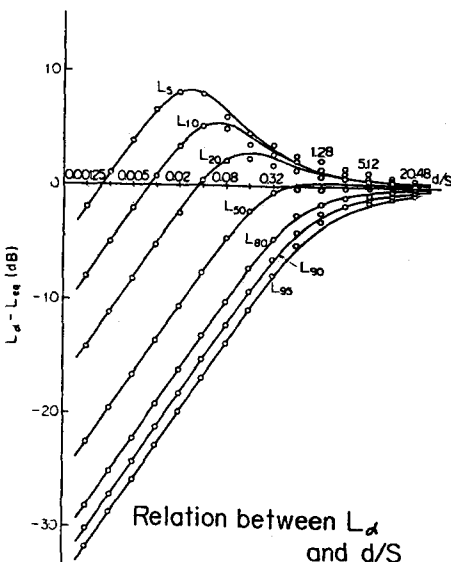


図 11. (36) 式に基づいて計算した  $L_\alpha - L_{50}$  との関係。○印はシミュレーション計算の結果。

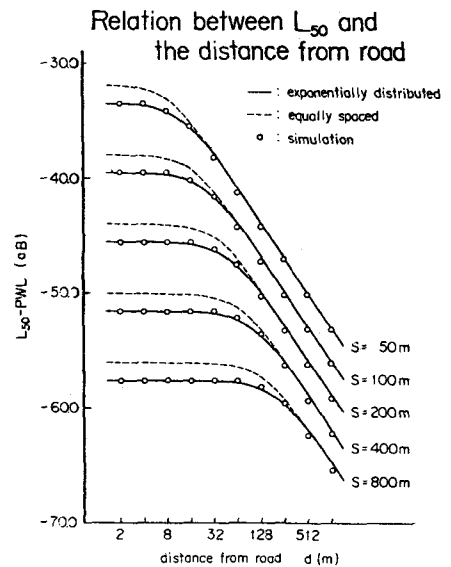


図 12.  $L_{50}$  の距離による減衰。実線は(36)式。印はシミュレーション計算の結果、破線は等間隔モデルによる結果。

5. アーラン分布モデル<sup>7)</sup> アーラン分布モデルは、車頭向隔の分布<sup>8)</sup>、アーラン分布にしたがうよう<sup>9)</sup>なモデルで、その密度函数は、

$$f(x) = \frac{1}{(\lambda-1)!} \left(\frac{\rho}{S}\right)^{\lambda-1} e^{-\frac{\rho}{S}x} \quad (38)$$

で示される。 $\lambda=1$ のときは、指数分布となり、 $\lambda \rightarrow \infty$ のときは、確率 $I$ で $\bar{I}$ という値となる。したがって、アーラン分布モデルは、指数分布モデルと、等向隔モデルの仲間に位置し、特別の場合に両モデルを含むことの重要なモデルと考えられるが、このモデルについては、従来、あまり解析が進んでいない。Blumentfeld and Weis<sup>8)</sup>と著者ら<sup>9)</sup>は、それで独立に、異なる方法で、このモデルに基づく解析を行ない、音の強さの平均値 $\bar{I}$ 、および分散 $\sigma_I^2(\bar{I})$ を導出しているが、それらを次式で示す。 $I$ は等向隔モデル、指數分布モデルの場合と同じである。

$$\bar{I} = \frac{W}{4dS} \quad (39)$$

$$\sigma_I^2(\bar{I}) = -\left(\frac{1}{4dS}\right)^2 + \frac{1}{32\pi d^2 S} + \frac{1}{16\pi d^2 S} \int_0^\infty \frac{\sin x}{(1+\frac{Sx}{2kd})^2} dx \quad (40)$$

音圧レベルの平均値や中央値の、等向隔モデルと指數分布モデルにおける差は、2~3 dBである。(したがって、アーラン分布モデルにおけるそれらの値の相違による変化も、その範囲内にあることになる。)

6. Excess attenuation を考慮に入れたモデル 上述までのモデルは、いずれも、距離によらず音の強さの減衰のみを考慮に入れたモデルである。実際には、種々の要因による excess attenuation が考えられるが、これらを考慮に入れたモデルはきわめて少ない。著者らは空気による音の吸収を考慮に入れた指數分布モデルを想定して、その解析を行なつた。<sup>9)</sup> 空気による吸収の係数を $m$ とすると、観測点における $I$ は、

$$I = \sum_{i=-\infty}^{\infty} \frac{1}{4\pi} \frac{e^{-m\sqrt{d^2+x_i^2}}}{d^2+x_i^2} \quad (41)$$

となり、その平均値 $\bar{I}(m)$ は、

$$\bar{I}(m) = \frac{1}{4dS} \frac{2}{\pi} K_{i_1}(md) \quad (42)$$

となる。ただし、一般に、 $K_{i_1}(z) = \frac{1}{\Gamma(i_1)} \int_0^\infty (t-z) K_{i_1}(t) dt$  である。 $(K_{i_1}(t)$  は $i_1$ 次の第二種変形 Bessel 関数) 空気による吸収を考慮に入れたときと、入射なしときの、エネルギー平均レベルを $\Delta L$ としたとき、 $m$

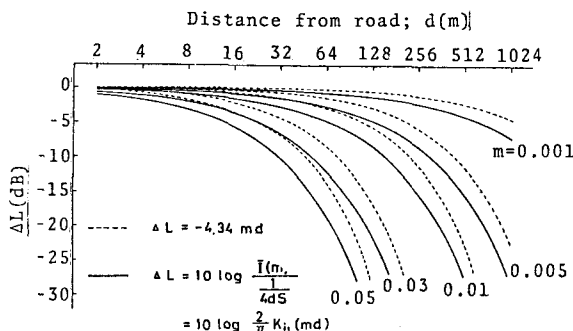


図13. 空気による吸収を考慮に入れたときと入射なしときのエネルギー平均レベルの差。(本文 6. 参照)

をパラメータとして、 $\Delta L$ と $d$ の関係を示したもののが図13である。破線は、はじめ吸収を考慮に入れないで計算した値 $\Delta L$ 、距離 $d$ のみによる吸収を考慮した場合の値である。防音壁がある場合の指數分布モデルについても検討を加えたが<sup>10)</sup>  $L_{eg}, L_s$  などは観測点が壁に近いほど減音効果が大きいが、交通量が少ない場合の $L_{so}, L_{gs}$ などは、対音点が壁の近くにある方が、はるかに時じらべて、減音効果が小さいことが判明している。

7. おわりに. 距離減衰のみを考慮に入れたモデルについては、かなり解析が進んでおり、交通流モデルの差によると、観測点における音圧レベルの差はあまり大きくなりないようである。しかし、excess attenuation を考慮に入れた場合には、なお、検討すべき重要な問題が残るており、今後、この方面の検討が必要である。

- 文献 1) 主司光他：日本音響学会誌，19(3), 1953, 2) Johnson D.R. et. al.: J. Sound. Vib., 7(3), 1968,  
 3) 高木興一他：日本音響学会誌 33(11), 1977, 4) Takeji, K.: J. Sound. Vib., 36(3), 1974,  
 5) 高木興一他：日本音響学会誌 33(6), 1977, 6) 高木興一他：日本音響学会講演論文集, 1977.  
 7) 高木興一他：日本音響学会講演論文集 1976, 8) Blumentfeld et al.: J. Sound. Vib., 1975,  
 9) 高木興一他：日本音響学会講演論文集 1975, 10) 高木興一：日本音響学会講演論文集, 1977